

*Krzysztof Pacześniowski\*, Andrzej Pytlik\*, Ewa Radwańska\**

## STANOWISKOWE BADANIA ELEMENTÓW OBUDÓW GÓRNICZYCH PRZY ICH DYNAMICZNYM OBCIĄŻENIU

---

### 1. Wstęp

Obudowy górnicze, zarówno w wyrobiskach ścianowych, jak i korytarzowych, narażone są na obciążenia dynamiczne, które z reguły nakładają się na istniejące obciążenie statyczne. W wyniku wystąpienia obciążzeń dynamicznych o znacznej wartości obudowy te mogą ulec częściowemu lub całkowitemu zniszczeniu.

Aby zmniejszyć skutki dynamicznego i statycznego oddziaływania górotworu na obudowy górnicze, stosuje się w nich odpowiednio dobrane elementy upodatniające, których zadaniem jest ograniczenie skutków działania obciążenia, przede wszystkim dynamicznego.

Podstawowym elementem upodatniającym obudowę ścianową jest stojak hydrauliczny, którego upodatnienie wynika między innymi ześciliwości emulsji olejowo-wodnej znajdującej się w przestrzeni podłokowej cylindra oraz odkształceń rury cylindra i uszczelnień. W obudowach tych stosuje się również jako elementy upodatniające specjalne zawory upustowe o przepustowości i szybkości działania większej od zaworów roboczych stosowanych w stojakowych blokach zaworowych. Zawory upustowe mają za zadanie odprowadzenie na zewnątrz cylindra stojaka obudowy takiej objętości cieczy i w takim czasie, aby ograniczyć gwałtowny wzrost ciśnienia cieczy wewnętrz cylindra spowodowany dynamicznym obciążeniem obudowy, do wartości nie powodującej jego uszkodzenia.

W przypadku obudowy podatnej (np. LP) wyrobisk korytarzowych elementami upodatniającymi są złącza cierne. Podczas obciążzeń dynamicznych dochodzi w nich do znaczących zsuwów lub, przy dużych energiach, do dużych deformacji łukowych elementów obudowy, a w konsekwencji do utraty jej stateczności. W takich przypadkach dochodzi również do całkowitego zniszczenia opinki obudowy.

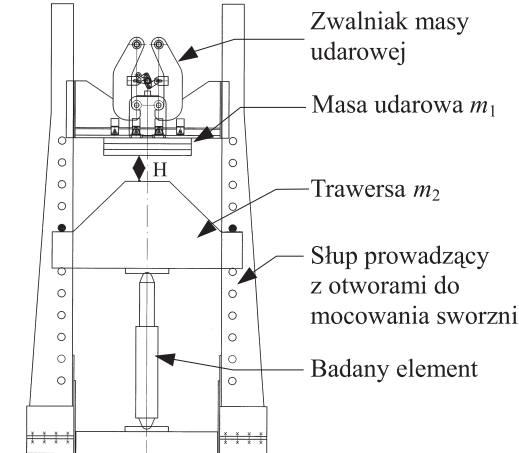
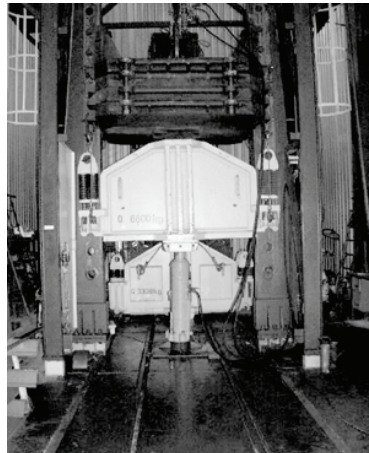
---

\* Główny Instytut Górniczy, Katowice

Określenie skuteczności działania wspomnianych elementów upodatniających obudowy górnicze wymaga przeprowadzenia ich badań w warunkach laboratoryjnych. Do tego celu zbudowano w Głównym Instytucie Górnictwa stanowisko badawcze, w którym elementy obudów obciążane są dynamicznie za pomocą udaru masy. Równocześnie rejestrowane są charakterystyczne parametry badania (ciśnienie, siła itd.), a ich analiza odbywa się za pomocą specjalistycznych programów komputerowych. Wyniki tych badań służą konstruktorom do wprowadzania zmian konstrukcyjnych w elementach upodatniających obudowy, a tym samym do zwiększenia ich dynamicznej odporności. Zakład Badań Urządzeń Mechanicznych Głównego Instytutu Górnictwa posiada akredytację nr AB 021 Polskiego Centrum Akredytacji na badanie we wspomnianym stanowisku stojaków ciernych, indywidualnych i hydraulicznych oraz kotwi górniczych, co potwierdza jego wysokie kompetencje i duże doświadczenie w zakresie badań obudowy przy obciążeniach dynamicznych.

## 2. Stanowisko badawcze

W Głównym Instytucie Górnictwa badania elementów obudów górniczych przy ich obciążeniu dynamicznym przeprowadzane są w stanowisku Laboratorium Badań Urządzeń Mechanicznych. Stanowisko to zlokalizowane jest w Łaziskach Górnich, a jego wygląd i schemat pokazano na rysunku 1 (w stanowisku stojak hydrauliczny).



**Fot. 1.** Wygląd i schemat stanowiska do badania elementów obudowy górniczej przy obciążeniu dynamicznym

W stanowisku tym obecnie prowadzone są badania następujących elementów obudów górniczych:

- stojaków hydraulicznych obudowy zmechanizowanej,
- stojaków ciernych (typu SV, Valent, itd.),

- ciernych złączy odrzwi obudowy ŁP,
- siatek okładzinowych.

Stanowisko to umożliwia obecnie badanie elementów o maksymalnych wymiarach  $5 \times 2 \times 6$  m (wysokość × szerokość × długość) za pomocą udaru masy do 30 000 kg. Maksymalna energia udaru wynosi 500 kJ, a wstępna siła rozparcia stojaków może wynosić maksymalnie 2 MN.

Do pomiaru ciśnienia, siły oraz przemieszczenia stosowane są czujniki współpracujące z cyfrowym wzmacniaczem pomiarowym typu DMCplus firmy HBM. Pomiary wykonywane są z częstotliwością próbkowania 9600 Hz, a następnie archiwizowane na dysku twardem komputera. Analiza otrzymanych wyników wykonywana jest za pomocą programu CATMAN oraz specjalistycznych programów opracowanych w Laboratorium Badań Urządzeń Mechanicznych (LBUM).

### **3. Badania stojaków hydraulicznych**

Badania stojaków hydraulicznych przy obciążeniu dynamicznym wykonywane są zgodnie z normami [1–3].

Zakres badań zgodnie z normą [1] obejmuje próbę odporności dynamicznej stojaka, z zamontowanym zaworem upustowym, za pomocą udaru swobodnie spadającej masy  $m_1 = 10\ 000$  lub  $20\ 000$  kg. Stojak przed badaniem zostaje rozsunieto do określonej wysokości. Następnie stojak zostaje obciążony statycznie trawersą o masie  $m_2 = 3300$  lub  $6600$  kg i przy rozparciu do ok. 60% wartości ciśnienia roboczego obciążony dynamicznie udarem masy. Podczas badania mierzy się wartość ciśnienia w podłokowej przestrzeni stojaka w funkcji czasu.

Wartość energii kinetycznej udaru  $E_u$  obliczana jest według wzoru

$$E_u = k_{dp} \cdot F_n \cdot 103, \text{ J} \quad (1)$$

gdzie:

- $k_{dp}$  — współczynnik obliczeniowy, J/N,
- $F_n$  — podporność nominalna stojaka, kN.

Przykładowy stojak doświadczalny z zamontowanym zaworem upustowym firmy FAZOS przedstawiono na rysunku 2.

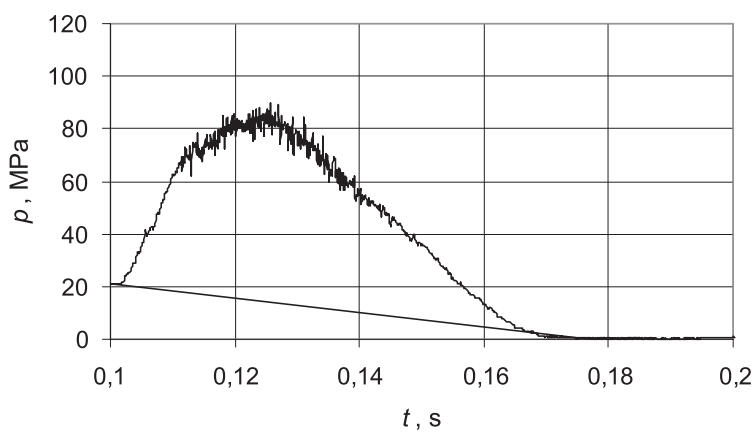
Przykładowy przebieg wartości ciśnienia w funkcji czasu, w podłokowej przestrzeni stojaka hydraulicznego wyposażonego w zawór upustowy, przedstawiono na rysunku 3.

Obecnie najskuteczniejszym sposobem upodatnienia stojaka jest zastosowanie w jego konstrukcji dodatkowego zaworu upustowego. Dzięki jego działaniu odprowadzana jest na zewnątrz cylindra stojaka taka objętość cieczy i w takim czasie, aby nie dopuścić do uszkodzenia stojaka. Ze względu na to, że podczas badań w stojaku występują bardzo wysokie ciśnienia i przepływy, konstrukcja tych zaworów narażona jest na bardzo częste

uszkodzenia. Dopracowanie ich konstrukcji wymaga od konstruktorów wykonywania wielu prób badawczych na stanowisku, które aczkolwiek w uproszczony sposób, ale oddają charakter obciążzeń powstających podczas wstrząsów górotworu i tąpań.



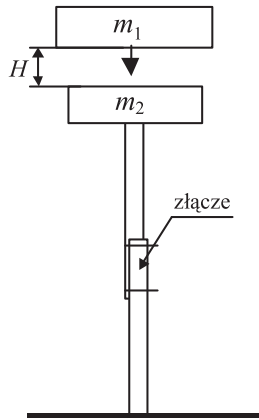
Rys. 2. Stojak doświadczalny z zamontowanym zaworem upustowym firmy FAZOS



Rys. 3. Przebieg ciśnienia w funkcji czasu w przestrzeni podłokowej stojaka hydraulicznego Ø200 z przedłużaczem mechanicznym, wyposażonego w zawór upustowy ( $h = 0,4$  m)

#### 4. Badania ciernych złączy (stojaków)

Istota badania wykonywanego zgodnie z normą [4] polega na dynamicznym obciążeniu złącza, na którym położona jest trawersa o masie  $m_2$ , swobodnie spadającą z wysokości  $H$  masą udarową  $m_1$  (rys. 4). W wyniku obciążenia dynamicznego następuje zsuw w złączu o długości  $Z$ . Znając wartości mas  $m_1$  i  $m_2$ , wysokość  $H$  spadku masy udarowej  $m_1$  oraz długość zsuwu  $Z$  w złączu, można obliczyć energię kinetyczną, potencjalną oraz całkowitą energię dostarczoną do badanego złącza, jak również wartość dynamicznego oporu zsuwu złącza  $N_d$  (na drodze zsuwu).



Rys. 4. Schemat stanowiska badawczego do wyznaczania dynamicznego oporu zsuwu ciernego złącza (stojaka);  $m_1 = 4000 \text{ kg}$ ,  $m_2 = 1600 \text{ kg}$

Obciążenie złącza za pomocą masy udarowej powtarza się do chwili całkowitego jego zsunięcia, przy czym przed każdym kolejnym dynamicznym obciążeniem złącza, nakrętki śrub strzemiąt dokręca się wymaganym momentem. Podczas badania mierzona jest wartość oporu zsuwu oraz długość zsuwu (przemieszczenie się względem siebie kształtowników w złączu) w funkcji czasu.

Prędkość  $v_o$  (m/s) masy udarowej (obciążnika) spadającej z wysokości  $H$  (m) w chwili uderzenia w trawersę obliczamy z zależności

$$v_o = \sqrt{2gH} \text{ m/s} \quad (2)$$

natomiast prędkość połączonych mas obciążnika  $m_1$  (kg) i trawersy  $m_2$  (kg) po uderzeniu plastycznym, odpowiadającą początkowej prędkości zsuwu złącza, obliczamy z zależności

$$v_p = v_o \frac{m_1}{m_1 + m_2} \text{ m/s} \quad (3)$$

Energia kinetyczna połączonych mas  $m_1$  i  $m_2$  na początku zsuwu wynosi

$$E_k = \frac{1}{2} (m_1 + m_2) v_p^2 \text{ J} \quad (4)$$

Podstawiając wzory (2) i (3) do wzoru (4), otrzymujemy

$$E_k = H \frac{m_1^2}{m_1 + m_2} g \text{ J} \quad (5)$$

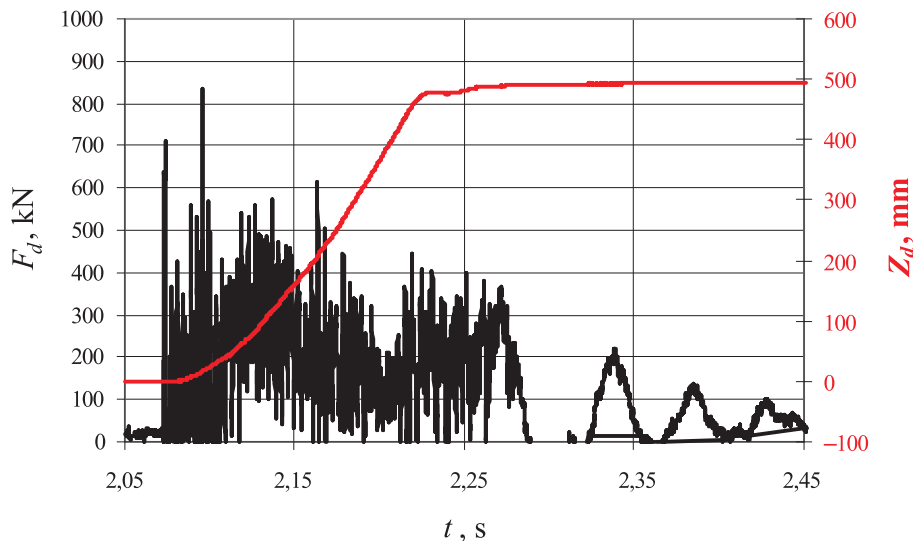
Całkowita energia dostarczona do złącza wynosi

$$E_c = E_k + (m_1 + m_2) g Z \text{ J} \quad (6)$$

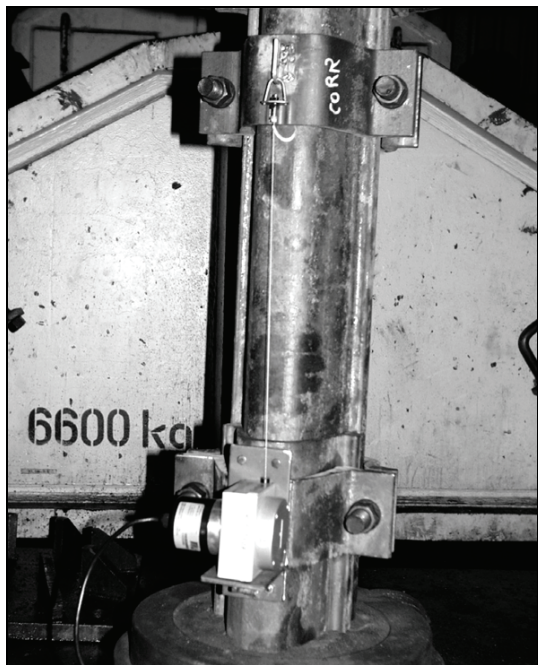
natomiast dynamiczny opór zsuwu  $N_d$  złącza obliczamy z zależności

$$N_d = \frac{E_c}{Z} \text{ N} \quad (7)$$

Przykładowy wykres siły oporu dynamicznego  $F_d$  oraz zsuwu  $Z_d$  złącza w funkcji czasu  $t$  dla strzemiąt dwujarzmowych przedstawiono na rysunku 5, a widok badanego złącza przedstawiono na rysunku 6.



Rys. 5. Przykładowy wykres siły oporu dynamicznego  $F_d$  oraz zsuwu  $Z_d$  złącza SDw32/34/36 w funkcji czasu  $t$ ;  $E_k = 33,6 \text{ kJ}$  ( $H = 1,2 \text{ m}$ )



Rys. 6. Złącze kształtników w stanowisku badawczym

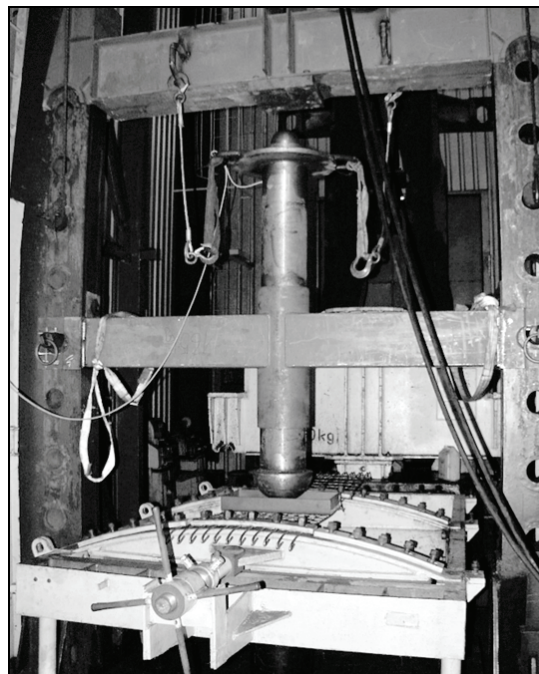
## 5. Badania okładzin siatkowych

Stanowisko do badań okładzin siatkowych przy obciążeniu dynamicznym za pomocą swobodnie spadającej masy udarowej wykorzystuje istniejące słupy prowadzące i trawersy stanowiska do badania stojaków oraz system pomiarowo rejestrujący. Zostało ono dodatkowo wyposażone w ramę, w której mocuje się badaną okładzinę siatkową. Rama ta zapewnia możliwość wstępnego napinania badanej okładziny siłą rozciągającą o wartości 5 kN. Przedmiotowa rama mocująca siatkę umożliwia badanie wszystkich rodzajów okładzin górniczych stosowanych obecnie w polskim górnictwie. Na rysunku 7 przedstawiono widok stanowiska badawczego.

Okładzina górnicza, zgodnie z metodyką opracowaną w LBUM GIG, jest wstępnie obciążana za pomocą trawersy poprzez element dociskowy (trzpień zakończony kulistą czaszą lub belką) o łącznej masie  $m_2 = 200$  kg oraz swobodnie spadającym na nią obciążnikiem o masie  $m_1 = 445$  kg z wysokości ( $H$ ).

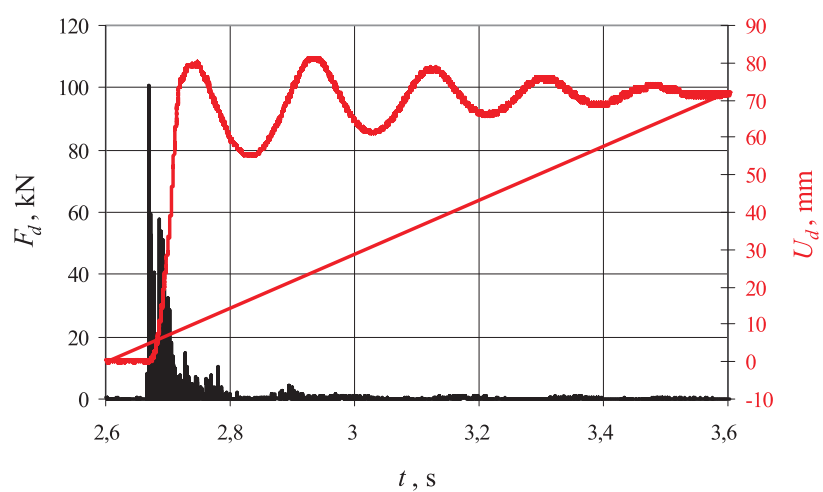
Podczas badania rejestrowana jest wartość siły obciążającej okładzinę siatkową oraz ugięcie okładziny.

Próby wykonuje się opuszczając masę  $m_1$  na badaną siatkę zwiększać wysokość  $H$ , aż do utraty jej funkcjonalności).

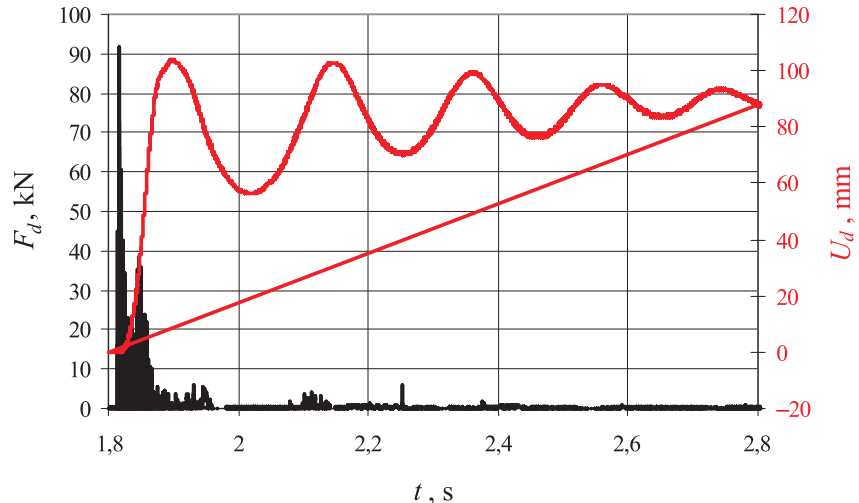


Rys. 7. Stanowisko do dynamicznych badań okładzin górniczych

Przykładowe wykresy zmian wartości siły oporu dynamicznego  $F_d$  oraz ugięcia  $U_d$  siatki w funkcji czasu  $t$  przedstawiono na rysunkach 8 i 9.



Rys. 8. Wykresy siły oporu dynamicznego  $F_d$  oraz ugięcia  $U_d$  siatki węzłowo-łańcuchowej o oczkach  $50 \times 100$  mm (produkcji DEMEX), obciążonej czaszą w funkcji czasu  $t$  przy  $H = 1,0$  m



Rys. 9. Wykresy siły oporu dynamicznego  $F_d$  oraz ugięcia  $U_d$  siatki węzłowo-łańcuchowej o oczkach  $100 \times 100$  mm (produkci POLMET), obciążonej czaszą w funkcji czasu  $t$  przy  $H = 0,6$  m

## 6. Podsumowanie

Na podstawie stanowiskowych badań elementów obudów górniczych przy ich dynamicznym obciążeniu oraz analizy otrzymanych wyników możliwe było wyznaczenie charakterystyk pracy tych elementów. Poznano również charakter zjawiska niszczenia elementów obudowy i określono krytyczne miejsca w poszczególnych konstrukcjach. Te informacje pozwalają projektantom taką modyfikację konstrukcji elementów obudów, mające na celu zwiększenie ich odporności dynamicznej, co bezpośrednio przyczynia się do podniesienia poziomu bezpieczeństwa załóg pracujących w ścianowych i korytarzowych wyrobiskach zagrożonych wstrząsami górotworu.

## LITERATURA

- [1] PN-G-15537:1999: Górnica obudowa zmechanizowana. Stojaki hydrauliczne. Badania
- [2] PN-EN 1804-2:2004: Maszyny dla górnictwa podziemnego. Wymagania bezpieczeństwa dla obudowy zmechanizowanej. Część 2: Stojaki, podpory i silowniki pomocnicze
- [3] PN-G-15536:1998: Górnica obudowa indywidualna. Stojaki hydrauliczne centralnie zasilane. Badania
- [4] PN-G-15533:1997: Górnica obudowa indywidualna. Stojaki cierne. Wymagania i badania

